

## ANEXO III

### A.3.1. ESCENARIOS SISMOS HISTORICOS

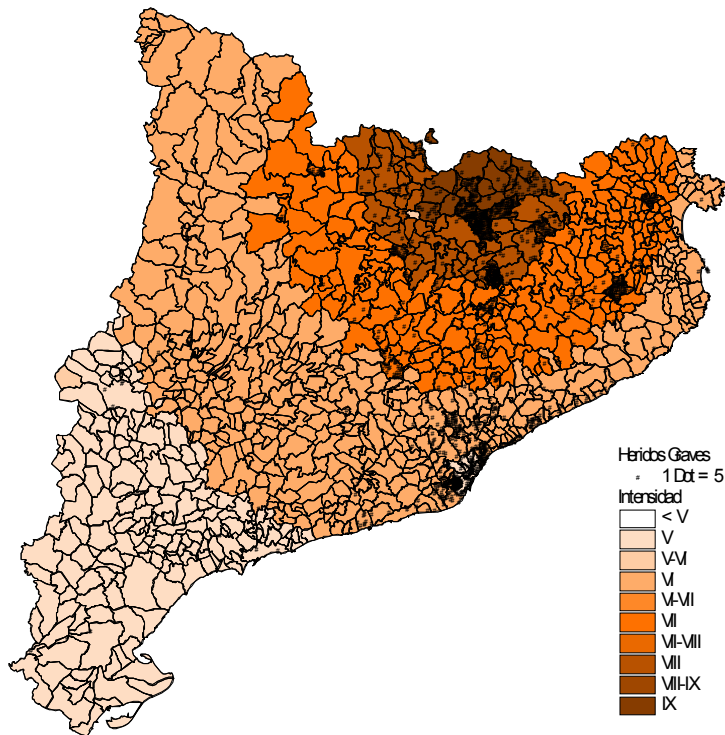


Fig. A.3.1. Sismo en Camprodon (Ripollès 1428) – (s/Isosistas)

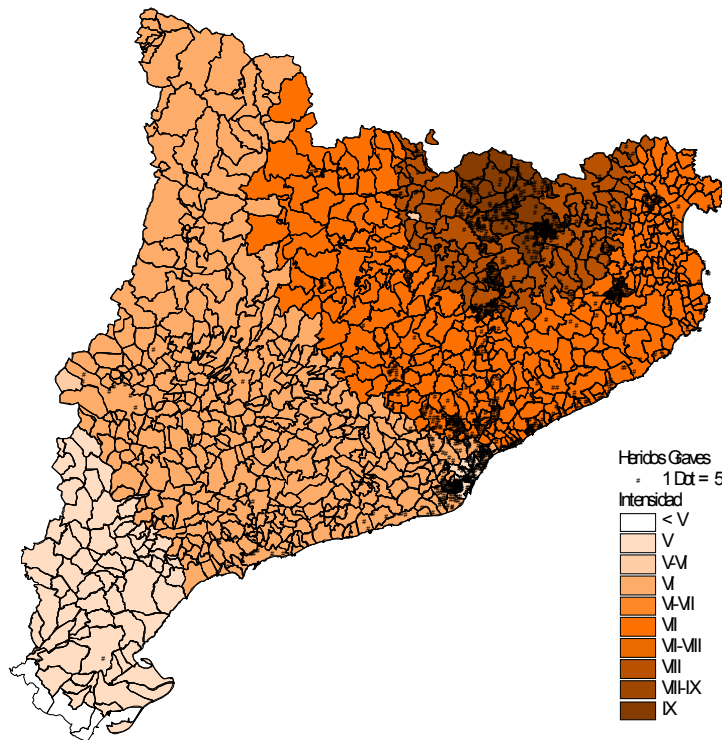


Fig. A.3.2. Sismo en Camprodon (Ripollès 1428) – (CAM9)

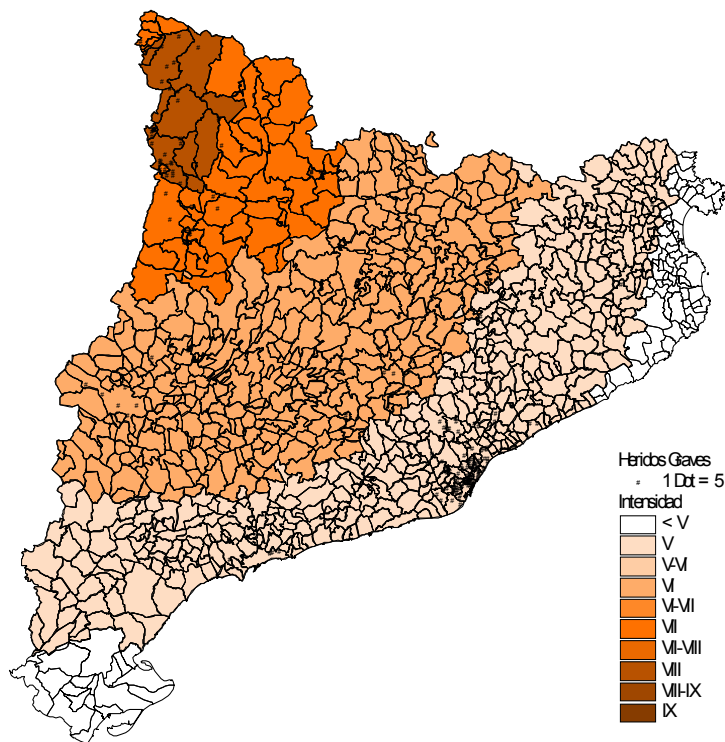


Fig. A.3.3. Sismo en Vielha (1923) – (VI8)

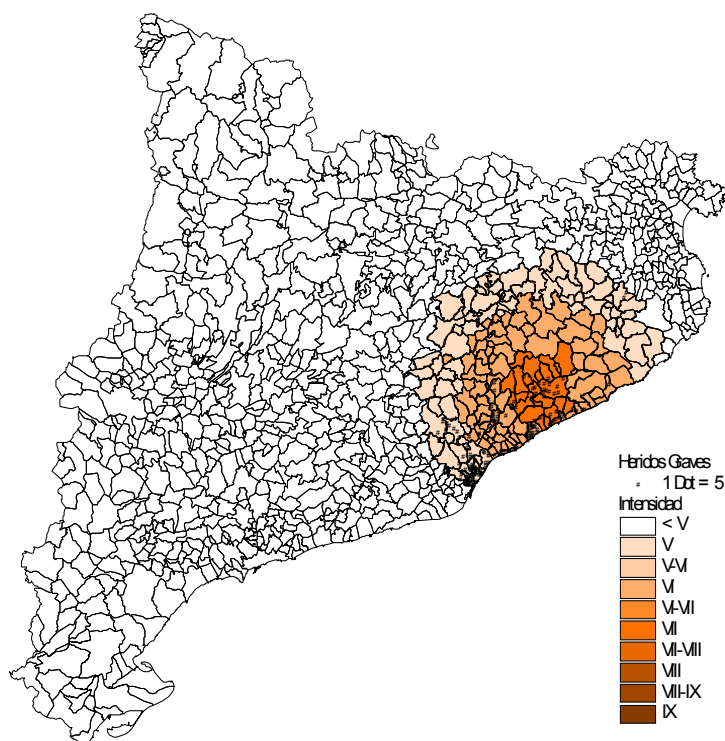


Fig. A.3.4. Sismo en Sant Celoni (1927) – (SC7)

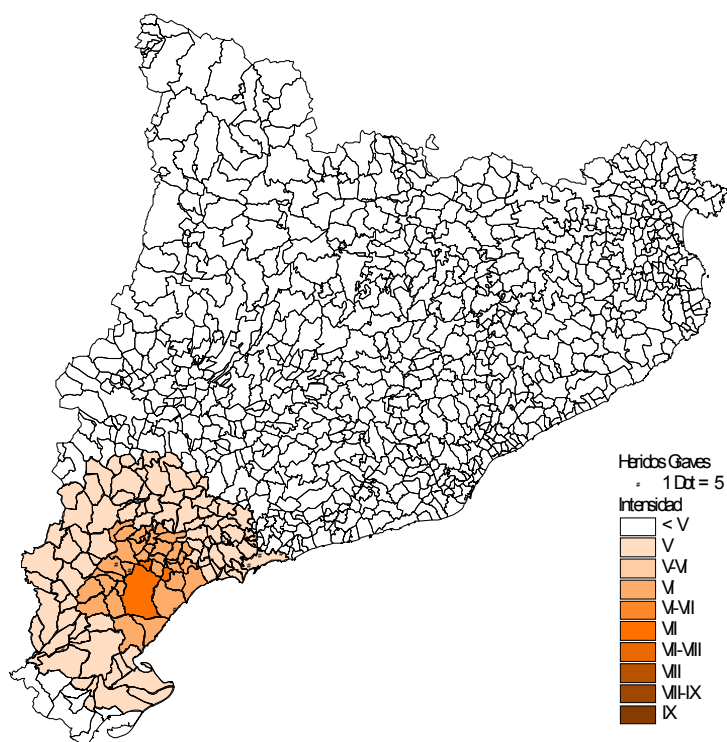


Fig. A.3.5. Sismo en Tivisa (1945) – (TI7)

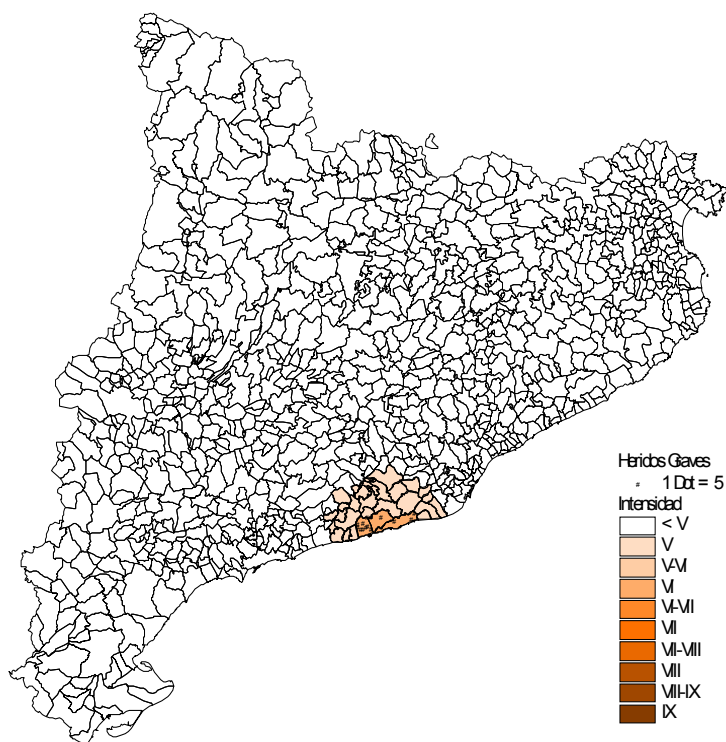


Fig. A.3.6. Sismo en Sitges – (SI6)

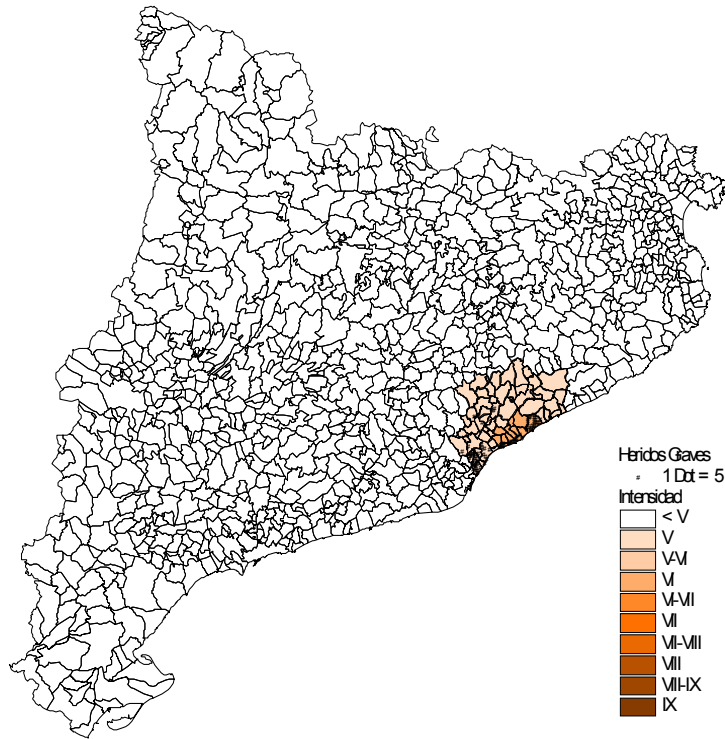


Fig. A.3.7. Sismo en Cabriils – (CA6)

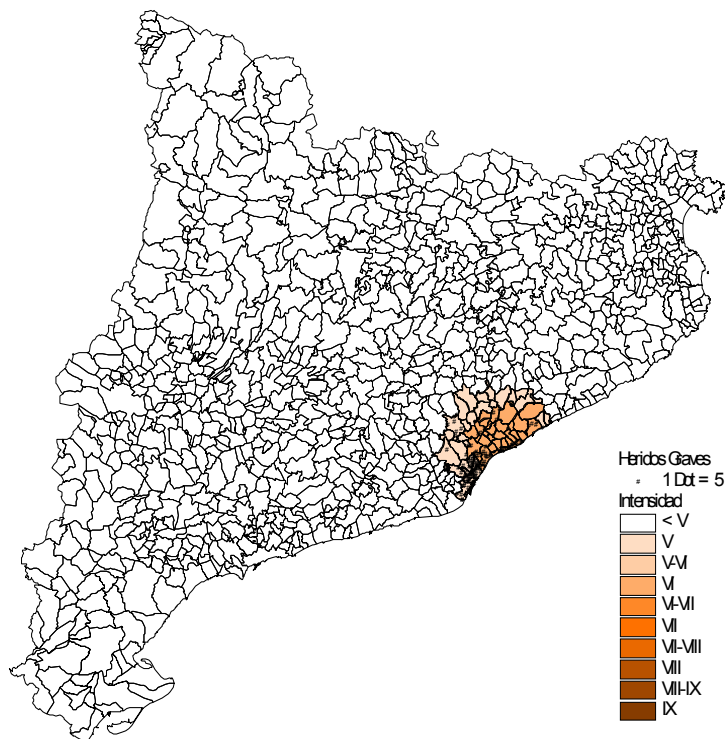


Fig. A.3.8. Sismo en Teia – (TE6)

### A.3.2. ESCENARIOS SISMOS SIMULADOS

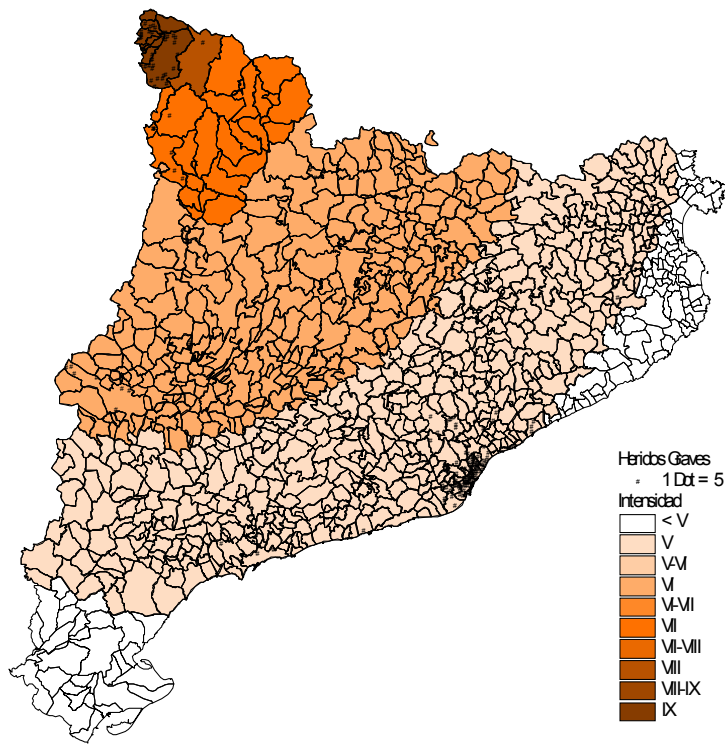


Fig. A.3.9. Pirineo Aragonés – Tr = 1000 años (PA3)

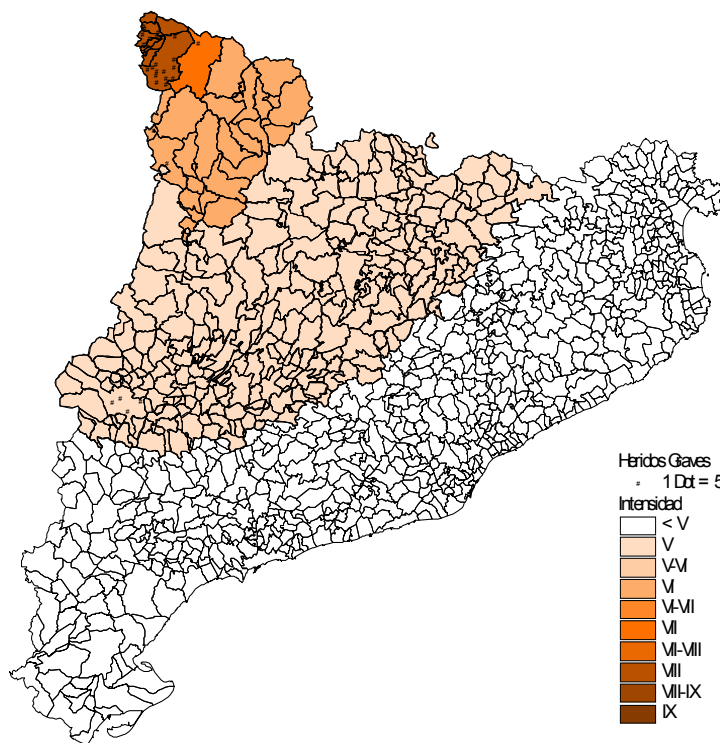


Fig. A.3.10. Pirineo Aragonés – Tr = 500 años (PA2)

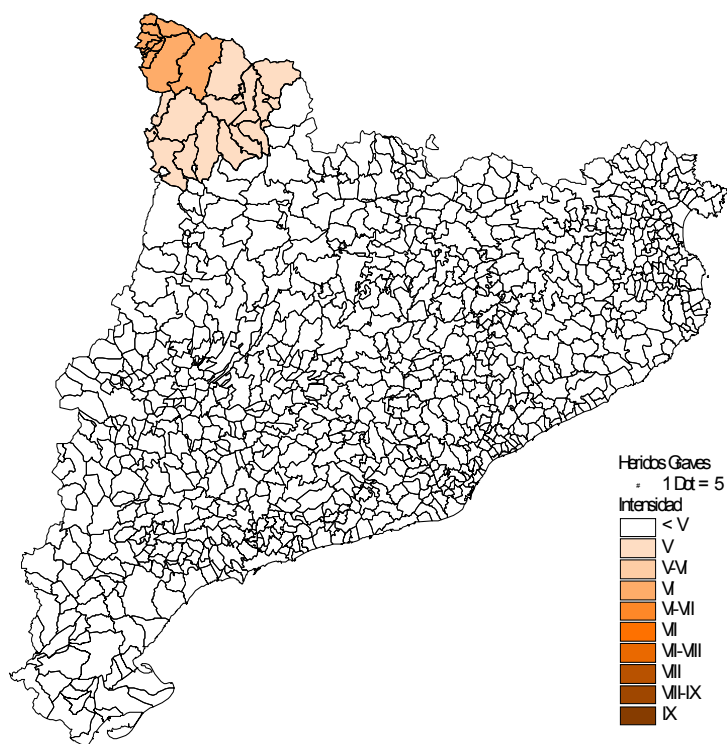


Fig. A.3.11. Pirineo Aragonés – Tr = 75 años (PA1)

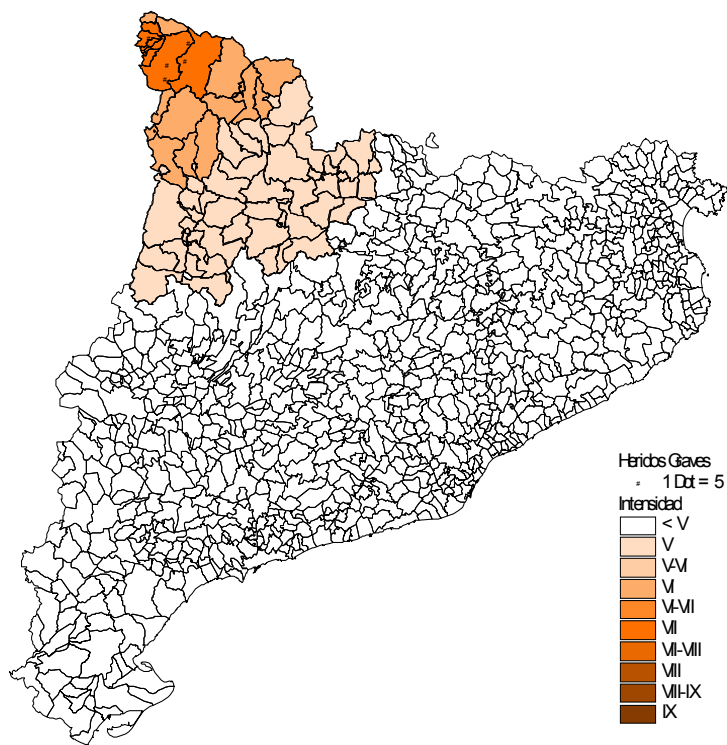


Fig. A.3.12. Sismo en Vielha – Tr = 1000 años (V3)

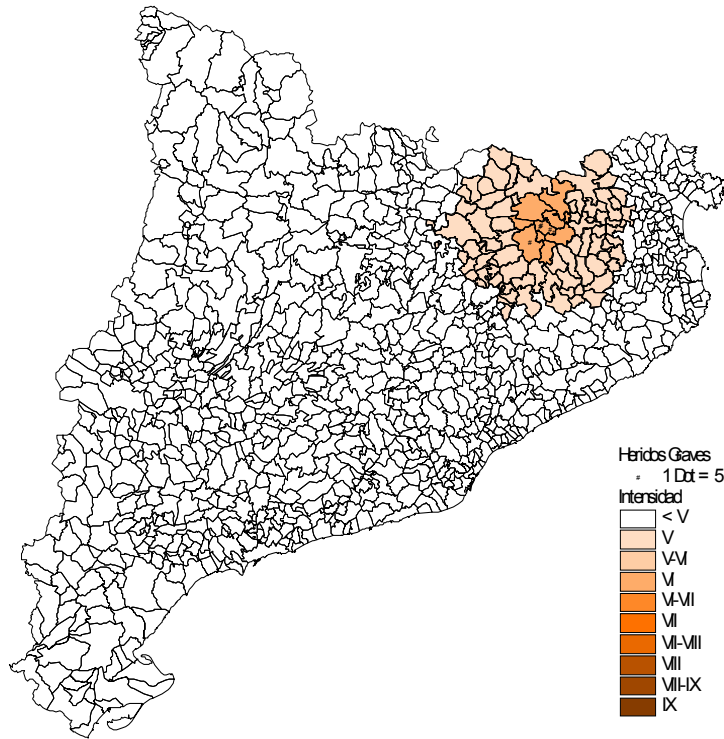


Fig. A.3.13. Sismo en Olot – Tr = 1000 años (O3)

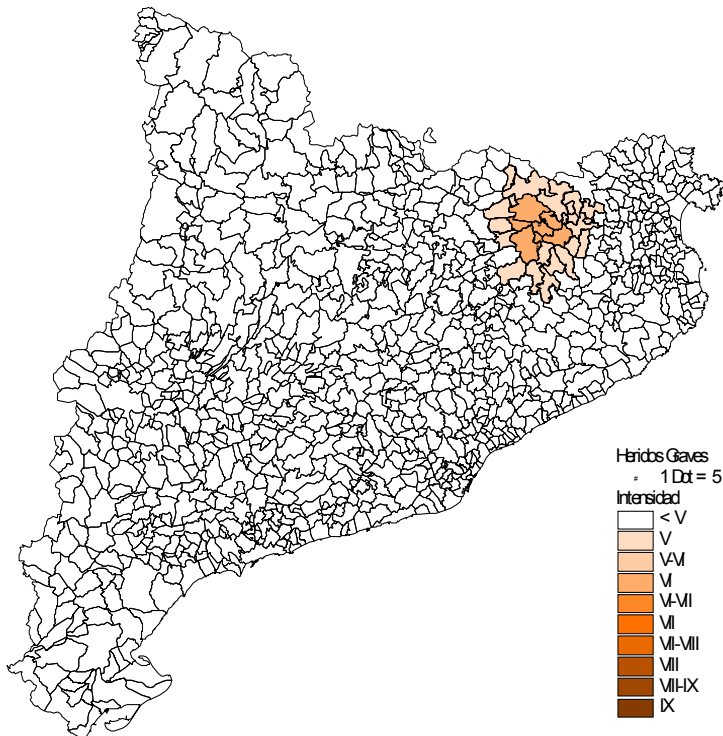


Fig. A.3.14. Sismo en Olot – Tr = 500 años (O2)

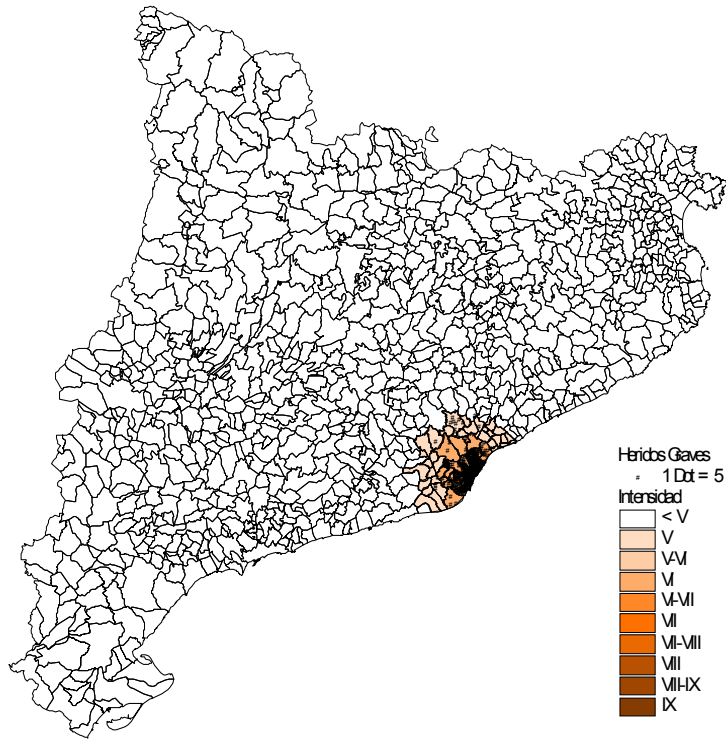


Fig. A.3.15. Sismo en Barcelona – Tr = 1000 años (BCN3)

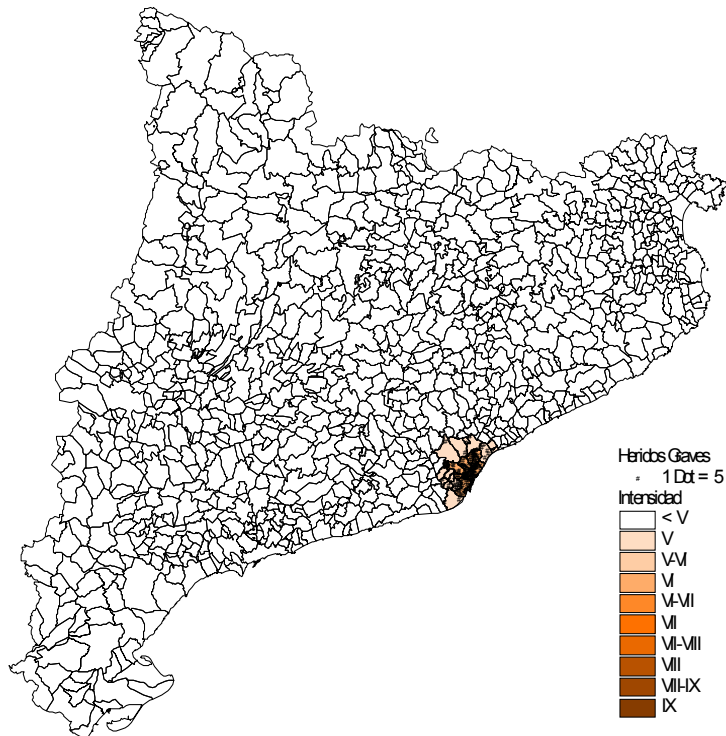


Fig. A.3.16. Sismo en Barcelona – Tr = 500 años (BCN2)